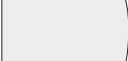
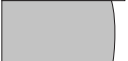
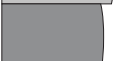


### Abréviations utilisées pour les unités lithologiques

<b>AI</b>	Aisemont
<b>BX</b>	Les Monts de Baileux
<b>CV</b>	Eau Noire
<b>FA</b>	Falaise de l'Abîme
<b>FRO</b>	Route Fromelennes-Flohimont
<b>HA</b>	La Couvinoise
<b>JF</b>	Route du Fays
<b>JG</b>	Jemelle Gare
<b>JN</b>	Jemelle Nord
<b>MC</b>	Marenne Centre
<b>ME</b>	Marenne Est
<b>OH</b>	Ohlesberg
<b>REM</b>	Remouchamps
<b>VT</b>	Villers-la-Tour

### Lithologie

	Calcaire
	Calcaire légèrement argileux
	Calcaire argileux
	Calcaire très argileux
	Shale
	Marne
	Siltite
	Grès

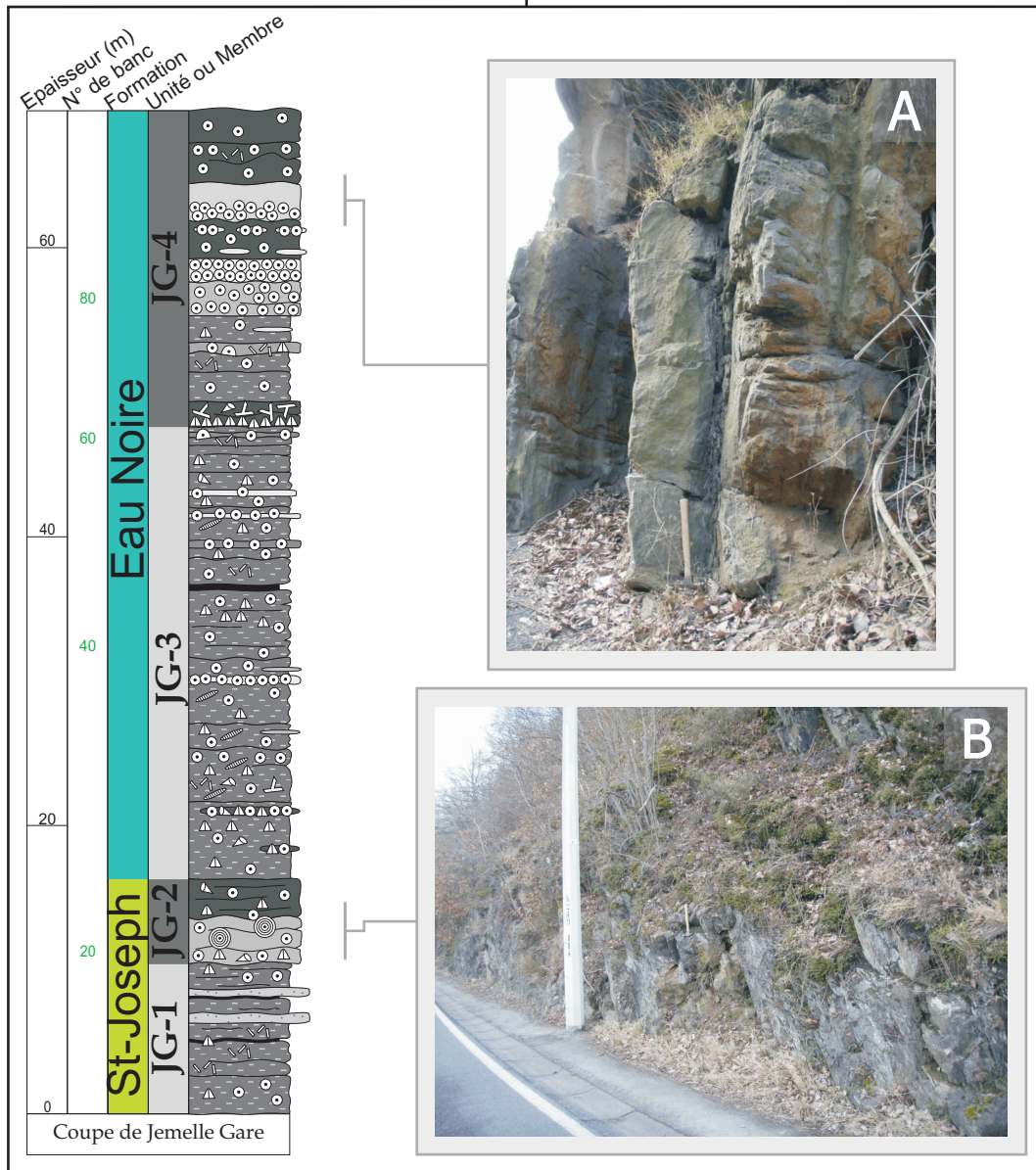
### Corpuscules

	Crinoïdes (ossicules ou tiges)
	Brachiopodes
	Trilobites
	Gastéropodes
	Bioclastes indéterminables
Rugueux:	
	solitaires
	massifs
	fasciculés
Tabulés:	
	lamellaires
	massifs (entiers ou brisés)
	branchus
Stromatopores:	
	lamellaires
	en dôme
	bulbeux
	massifs (brisés)
	branchus
	Algues calcaires
	Ostracodes
	Débris végétaux
	Ooïdes

### Éléments lithologiques

	Joint argileux centimétrique
	Banc subnodulaire
	Bioturbation
	Birdseyes
	Pseudomorphes d'anhydrite
	Pédogenèse
	Stylolithe

Fig. V. 1: Légende des colonnes lithologiques simplifiées.



**Fig. V. 2: Colonne lithologique simplifiée des Formations de Saint-Joseph et de l’Eau Noire.**

La coupe est celle de Jemelle Gare.

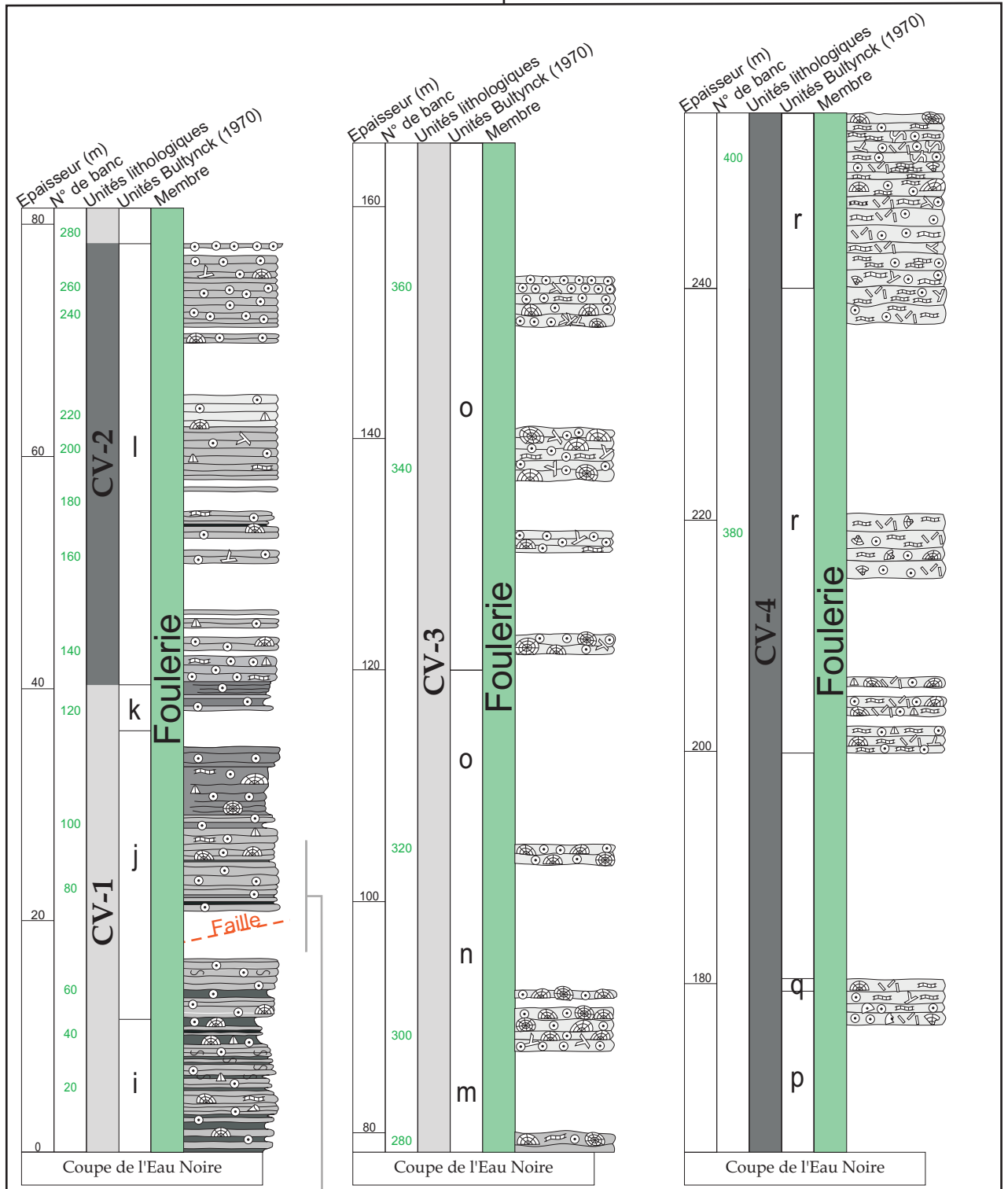
A. Sommet de la Formation de l’Eau Noire montrant un aspect particulièrement massif (le marteau est sur le banc JG88).

B. Formation de Saint-Joseph (marteau sur banc JG21).

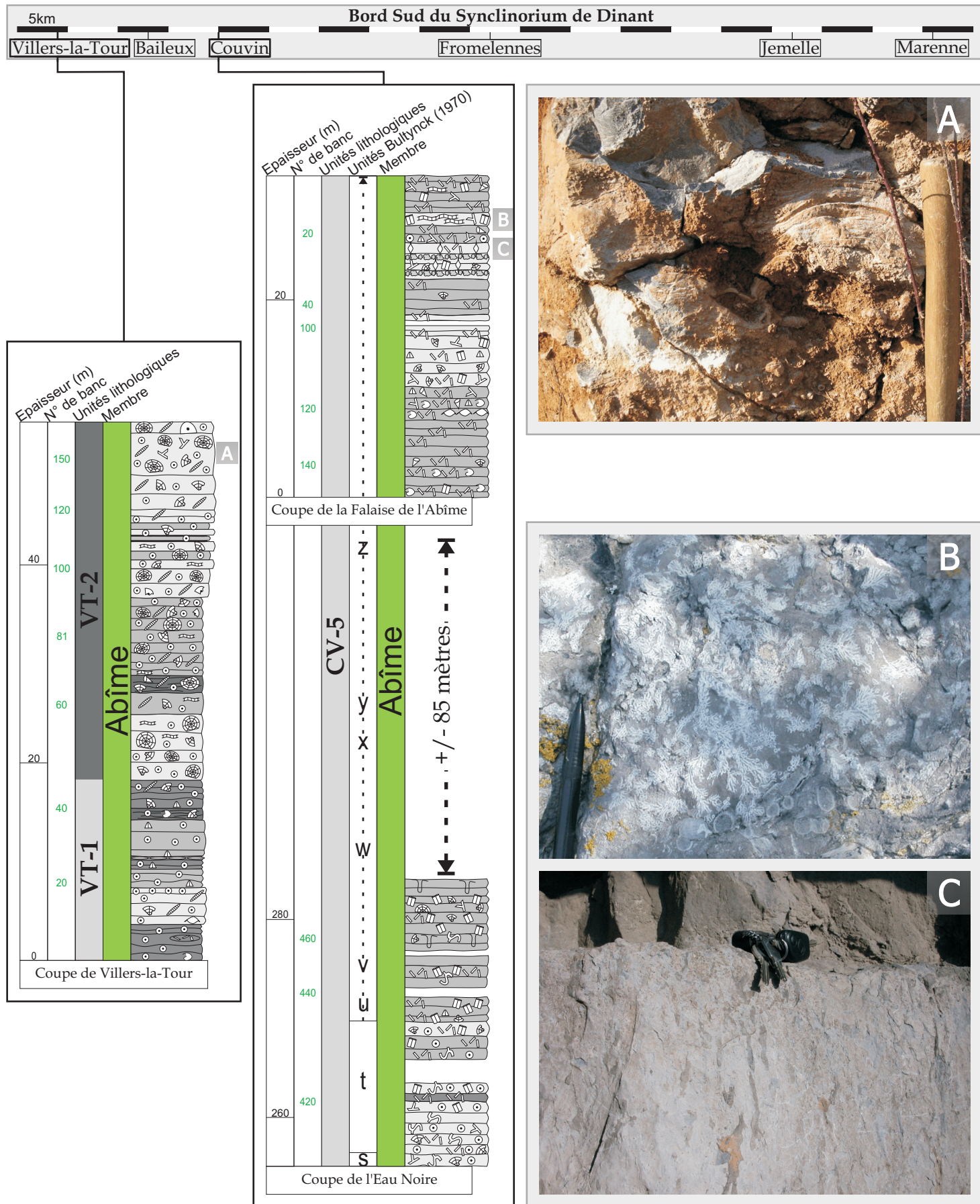
**Fig. V. 3: Colonne lithologique simplifiée du Membre de la Foulerie (page suivante).**

La coupe est celle de l’Eau Noire.

La photo montre l’unité lithologique située juste au Nord de la faille à laquelle correspond la résurgence. Cette partie est l’une des plus continues de la coupe.



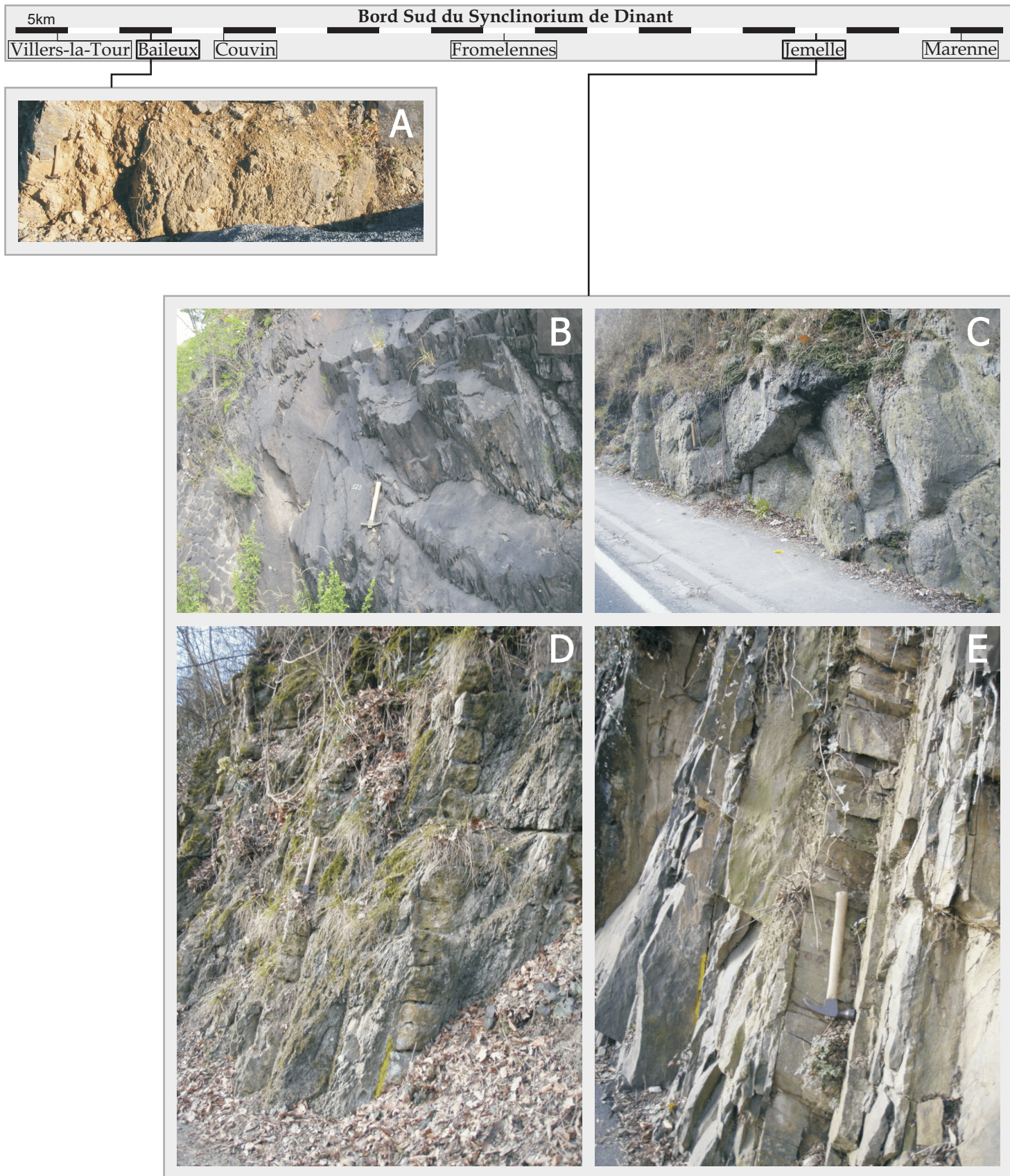
**Fig. V. 3**



**Fig. V. 4: Colonnes lithologiques simplifiées du Membre de l'Abîme.**

Les coupes sont celles de Villers-la-Tour ainsi que du stratotype (Eau Noire et Falaise de l'Abîme).  
 A. Stromatopores massifs et tabulés branchus au sommet de la coupe actuelle de Villers-la-Tour.  
 B. Banc FA16 riche en tabulés branchus et rugueux fasciculés.  
 C. Banc FA25 bioturbé et dépourvu de macro-faune.

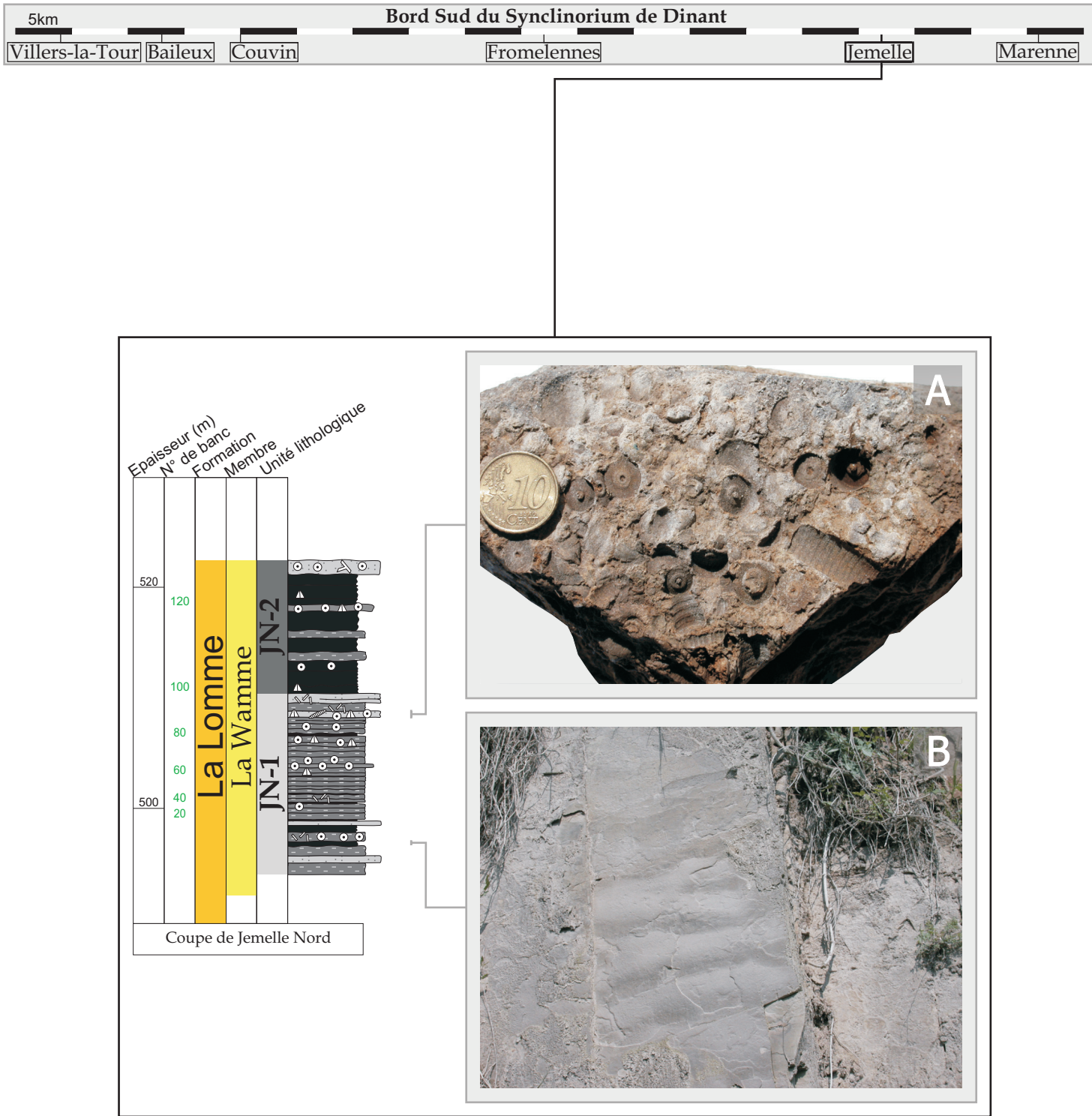




**Fig. V. 6: Photographies illustrant les colonnes lithologiques simplifiées de la Formation de Jemelle (présentées à la page précédente).**

- A. Sommet de la Formation de Jemelle à la base de la coupe des Monts de Baileux (le marteau est posé à la base du premier banc de la Formation de Hanonet).
- B. Banc JG125 (dernier banc de la partie de levé située au Sud de la gare). Membre de la Station.
- C. Membre des Chavées, coupe de Jemelle Gare (le marteau est sur le banc JG243).
- D. Membre des Chavées, coupe de Jemelle Fays (le marteau est sur un banc plus carbonaté, le banc JF08).
- E. Membre des Chavées, coupe de Jemelle Fays (le marteau est sur un banc gréseux, le banc JF94).

**Fig. V. 6**

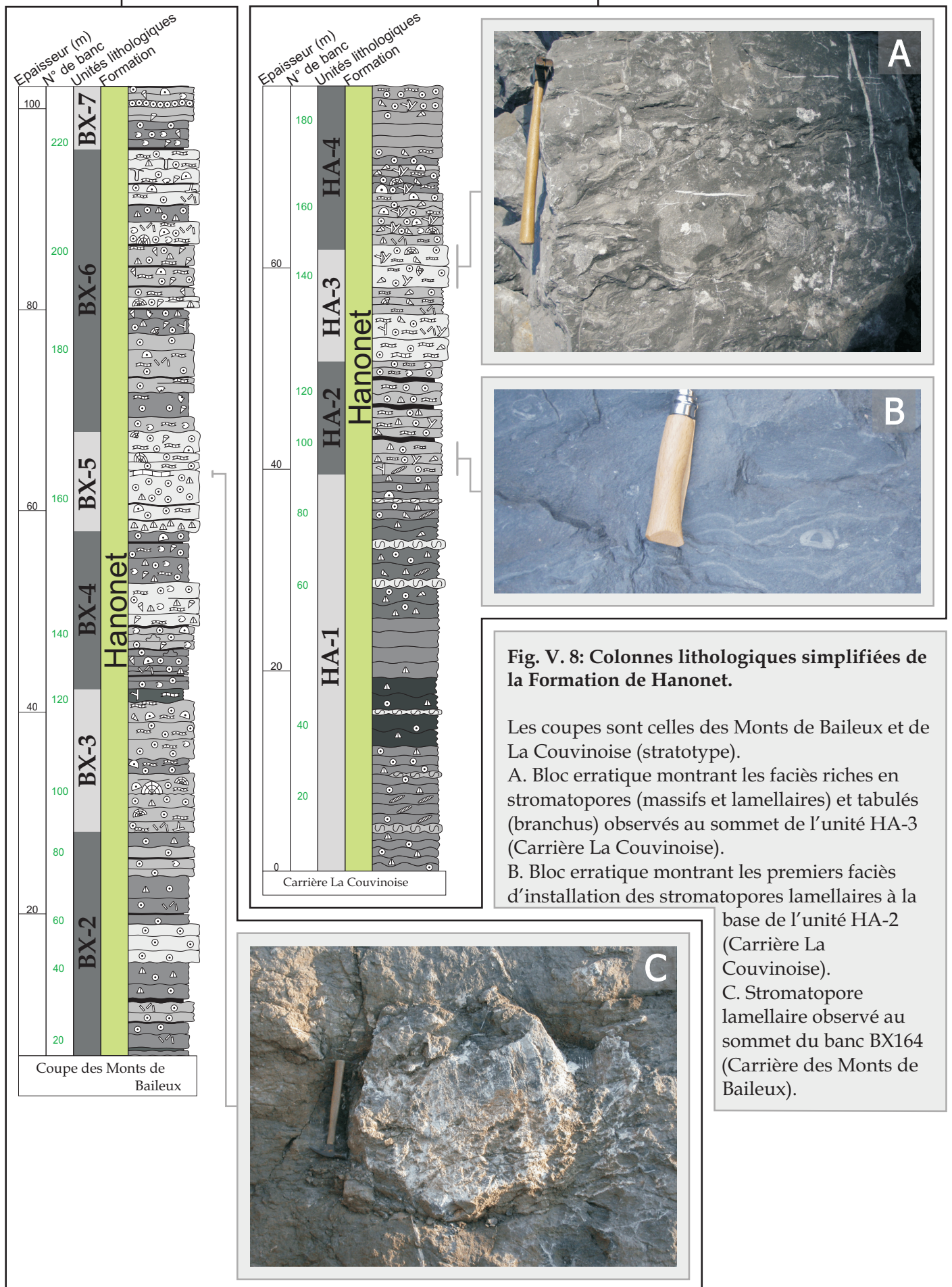


**Fig. V. 7: Colonne lithologique simplifiée du Membre de La Wamme (Formation de La Lomme).**

La coupe est celle de Jemelle Nord.

A. Grès à fossiles dissous, principalement des crinoïdes (banc JN88).

B. Base du banc JN09 montrant des ripples marks.



**Fig. V. 8: Colonnes lithologiques simplifiées de la Formation de Hanonet.**

Les coupes sont celles des Monts de Baileux et de La Couvinoise (stratotype).

A. Bloc erratique montrant les faciès riches en stromatopores (massifs et lamellaires) et tabulés (branchus) observés au sommet de l'unité HA-3 (Carrière La Couvinoise).

B. Bloc erratique montrant les premiers faciès d'installation des stromatopores lamellaires à la base de l'unité HA-2 (Carrière La Couvinoise).

C. Stromatopore lamellaire observé au sommet du banc BX164 (Carrière des Monts de Baileux).

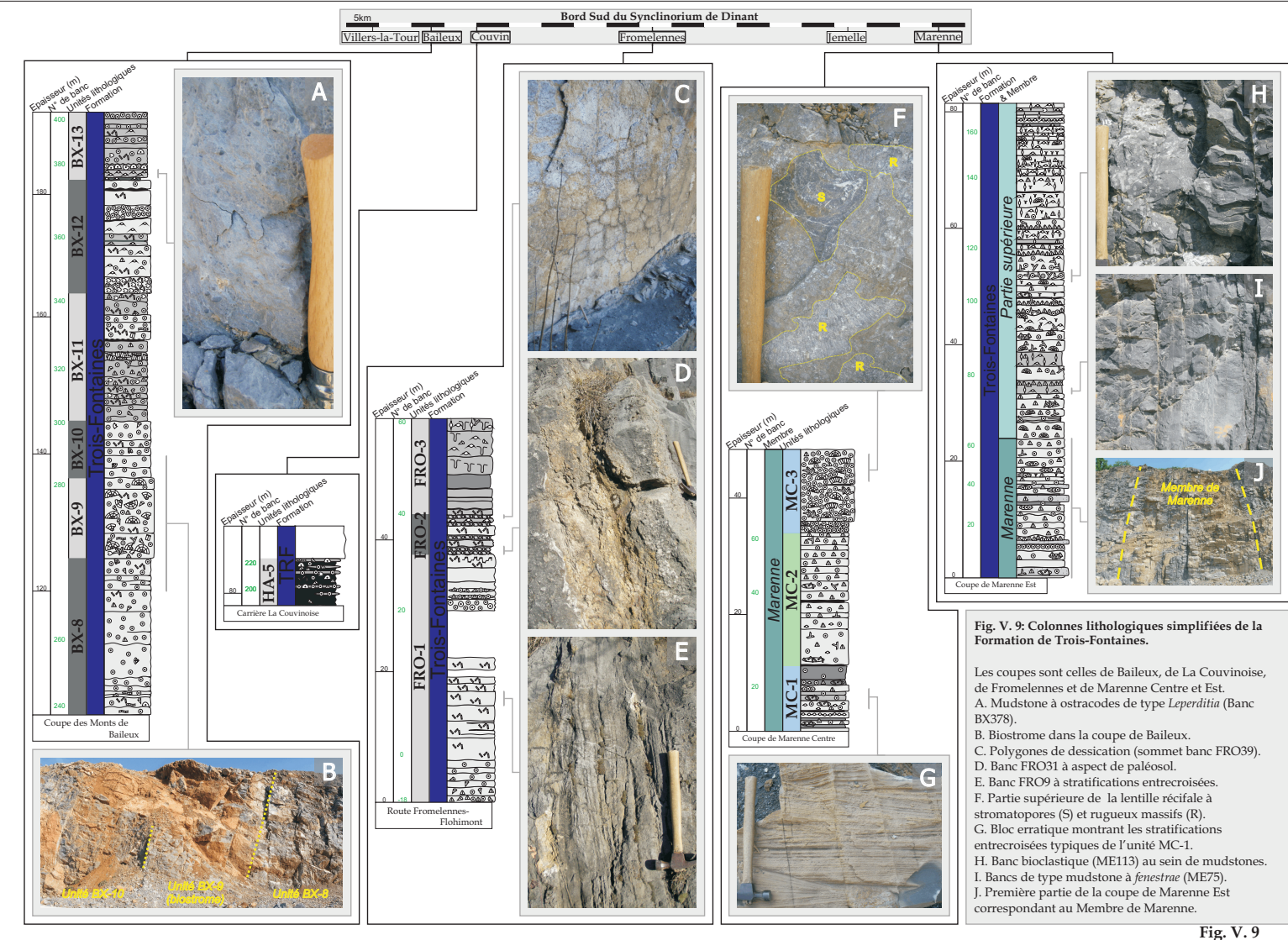
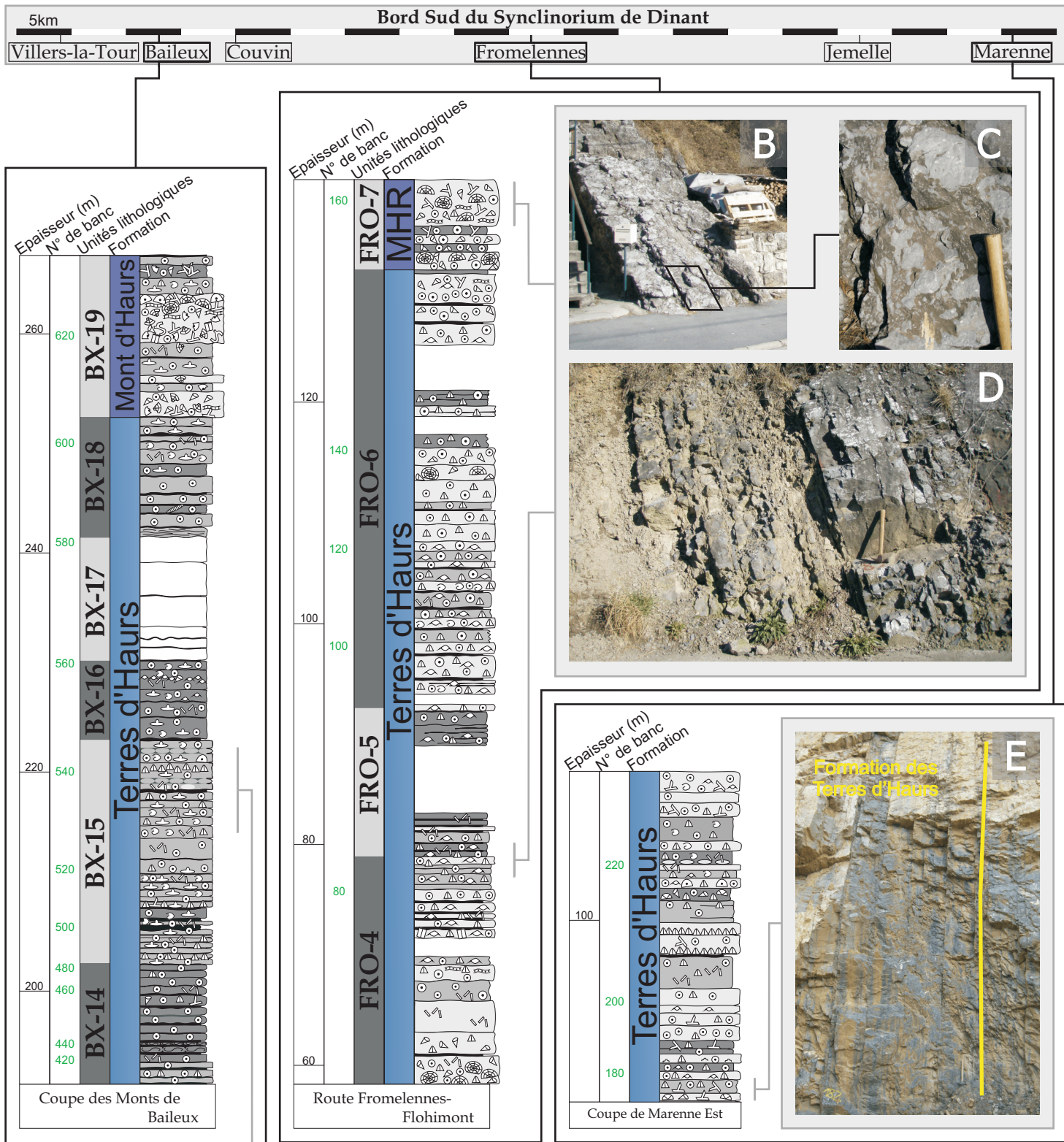


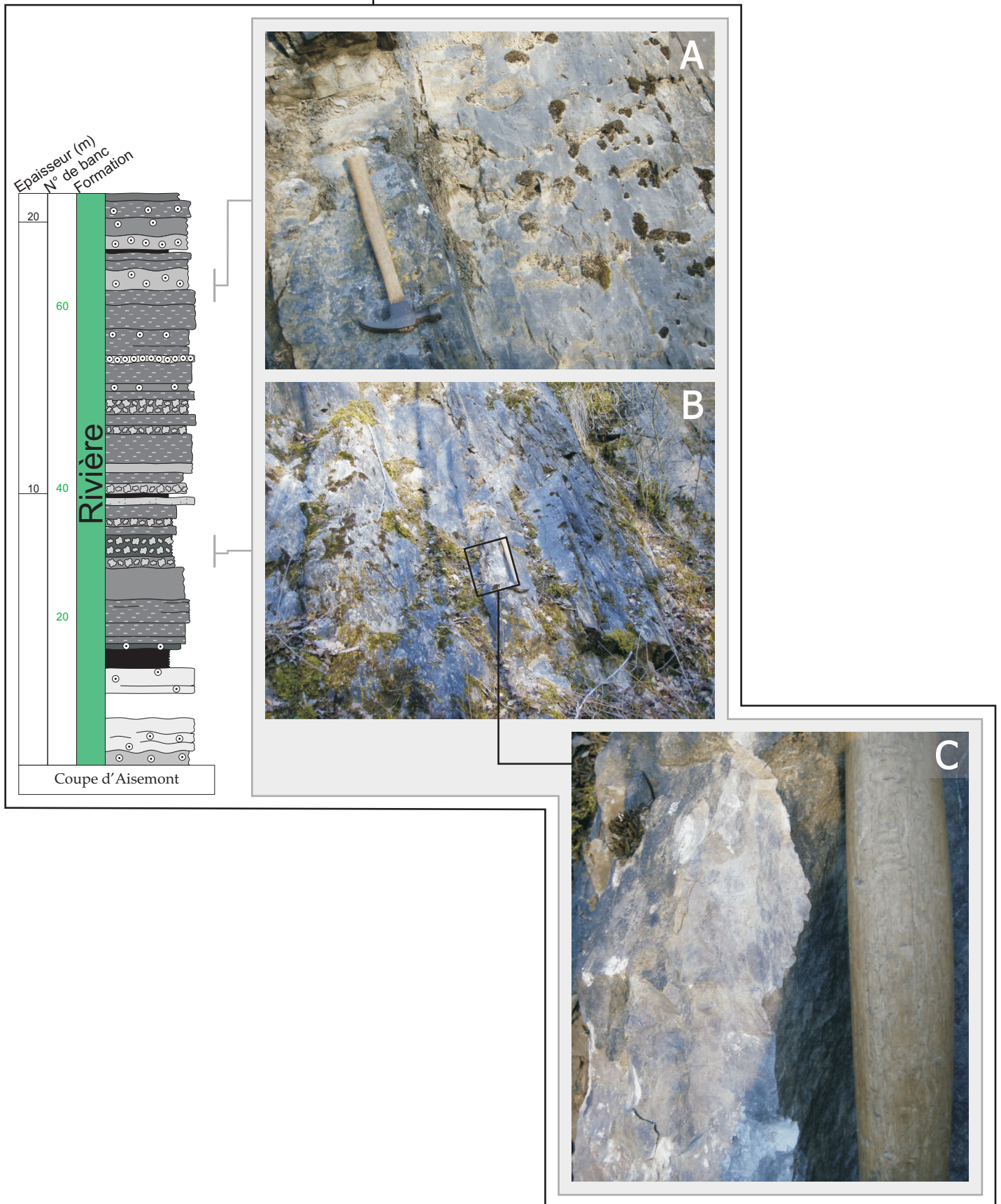
Fig. V. 9



**Fig. V. 10: Colonnes lithologiques simplifiées des Formations des Terres d'Haus et du Mont d'Haus.**

Les coupes sont celles des Monts de Baileux, de la route Fromelennes-Flohimont et de Marenne Est. A. Bancs BX527 à BX543 typiques de l'unité BX-15. B. Niveau biostromal à la base de la Formation du Mont d'Haus (bancs FRO160 et FRO161). C. Détail du banc FRO160 montrant de nombreux stromatopores accompagnés de tabulés et rugueux. D. Transition entre l'unité FRO-4 et FRO-5 plus argileuse (marteau sur banc FRO85). E. Base de la Formation des Terres d'Haus.

**Fig. V. 10**



**Fig. V. 11: Colonne lithologique simplifiée du Membre de Claminforge (Formation de Rivière).**

La coupe est celle d'Aisemont.

A. Banc de calcaire gréseux (AI63) surmontant des siltites (la marteau est sur le banc AI63).

B. Zone à paléosols (bancs AI26 à 31).

C. Détail du banc AI 29 correspondant à un paléosol.

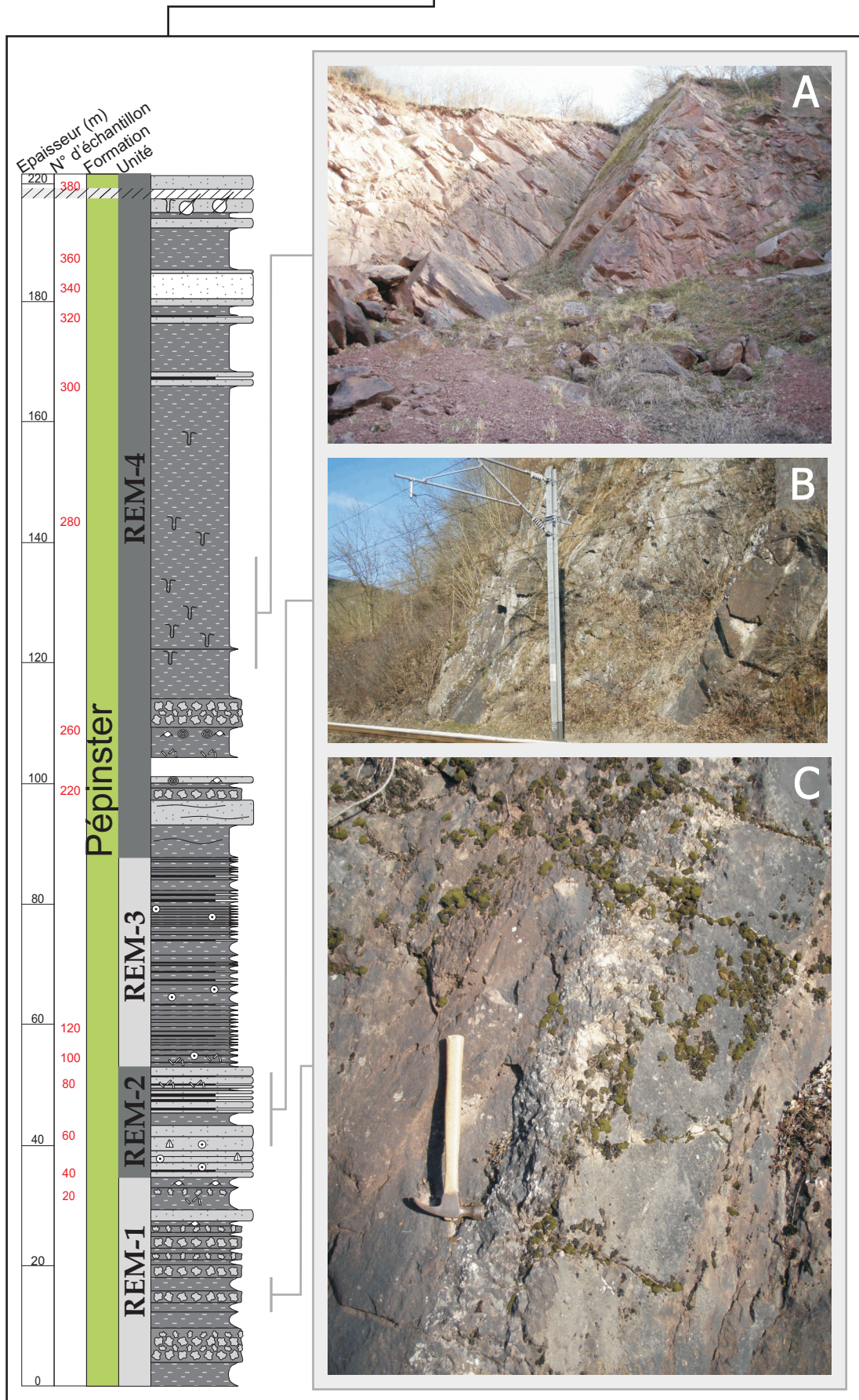
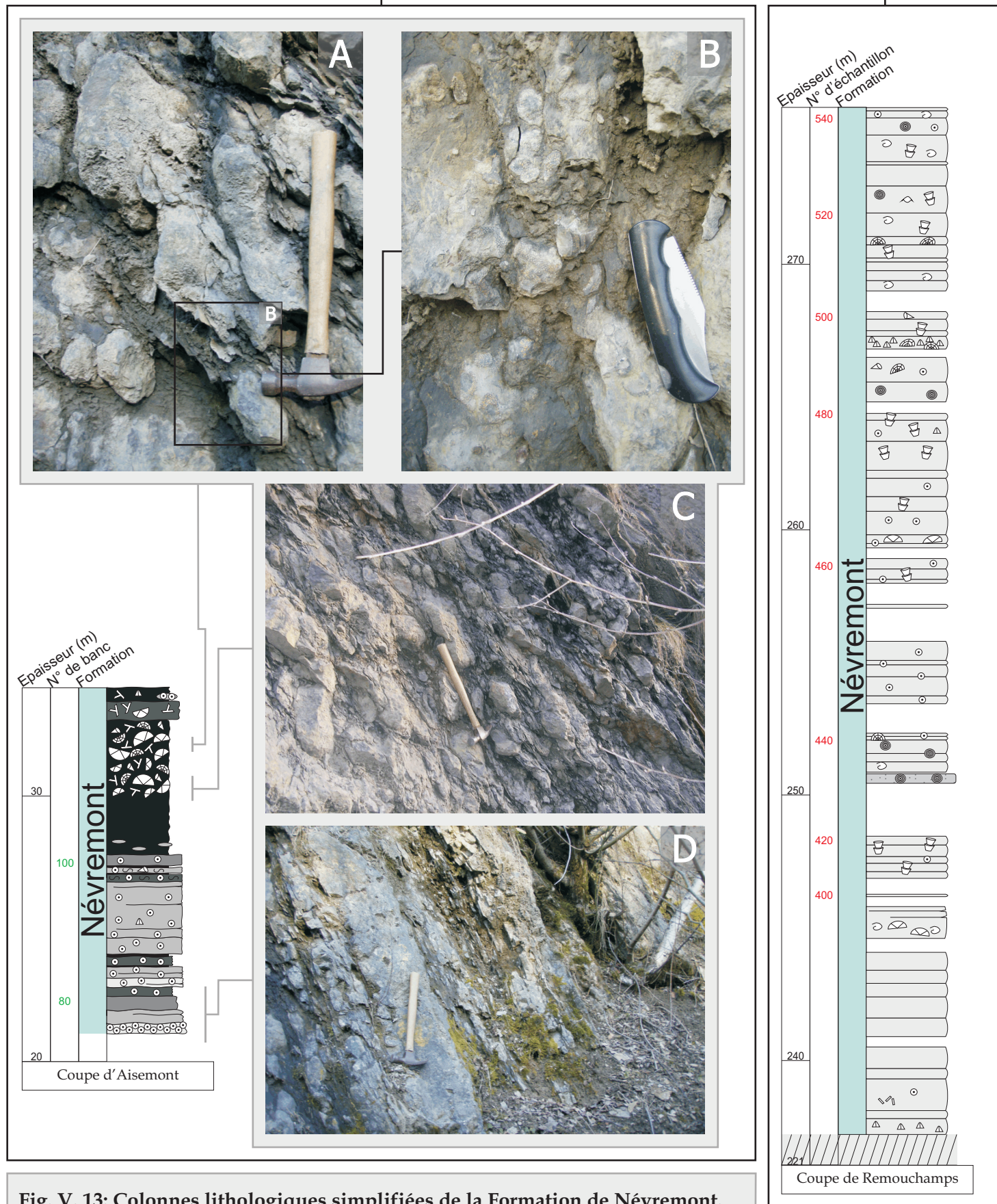


Fig. V. 12: Colonne lithologique simplifiée de la Formation de Pépinster.

La coupe est celle de Remouchamps.

- A. Zone à siltite rouge massive montrant une surface correspondant à la stratification (Unité REM-4).
- B. Zone à bancs gréseux à caractère massif (Unité REM-2).
- C. Détail d'un des paléosols de l'unité REM-1.



**Fig. V. 13: Colonnes lithologiques simplifiées de la Formation de Névremont.**

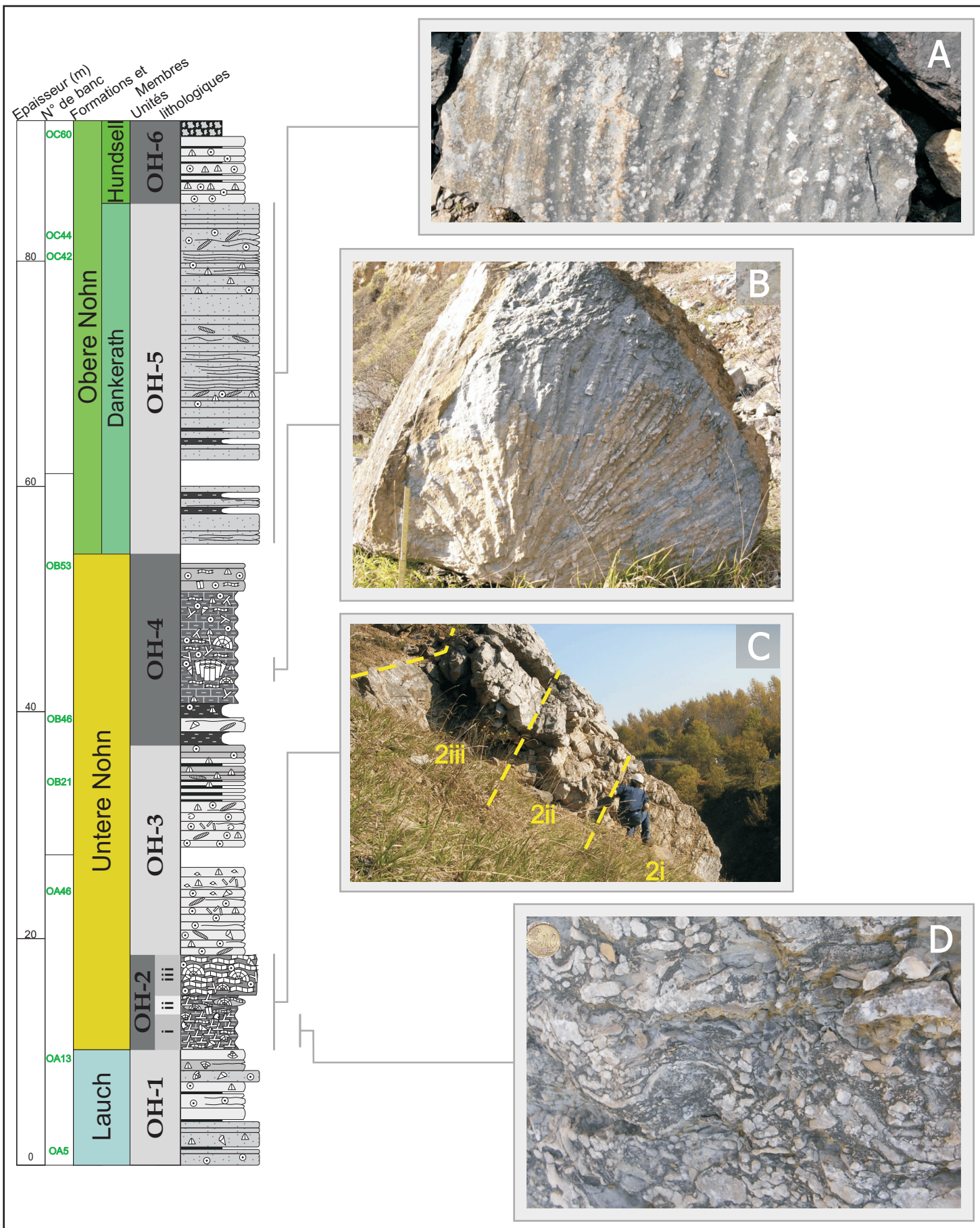
Les coupes sont celles d'Aisemont et de Remouchamps.

A. Partie supérieur très argileuse contenant de nombreux nodules correspondant principalement à des rugueux massifs. Le cadre noir indique la zone agrandie en B.

B. Détail montrant des tabulés et des rugueux.

C. Base de la zone très argileuse à colonies de rugueux massifs.

D Base de la Formation de Névremont (marteau sur le banc AI80).



**Fig. V. 14: Colonne lithologique simplifiée des Formations de Lauch et de Nohn.**

La coupe est celle du Ohlesberg.

A. Bloc erratique correspondant à un grès à ripples marks typique de l'unité OH-5.

B. Bloc erratique montrant une colonie de *Mesophyllum* typique de l'unité OH-4.

C. Vue de la base de la Formation de Nohn montrant les trois sous-unités de l'unité OH-2.

D. Vue détaillée de la sous-unité OH-2i (marne à tabulés branchus et stromatopores lamellaires).